



УДК 519.718

**А. М. Романкевич**, д-р техн. наук,  
**В. А. Романкевич**, канд. техн. наук, **И. В. Майданюк**, аспирант  
Национальный технический университет Украины  
«Киевский политехнический ин-т»  
(Украина, 03056, Киев, пр-т Победы, 37,  
тел.: (044) 4549032, E-mail romankev@scs.ntu-kpi.kiev.ua)

**Границные оценки числа ребер  
*GL*-моделей поведения отказоустойчивых  
многопроцессорных систем в потоке отказов**

*(Статью представил д-р техн. наук В. Г. Тоценко)*

Приведены оценки числа основных ребер при построении базовых *GL*-моделей, отображающих реакцию отказоустойчивой многомодульной системы на появление отказов, с минимальным числом теряемых ребер, а также граничные оценки числа дополнительных ребер при трансформации базовых *GL*-моделей к небазовым.

Наведено результати оцінки кількості основних ребер при побудові *GL*-моделей, що відображують реакцію відмовостійкої багатомодульної системи на появу відмов, з мінімальною кількістю втрачених ребер, а також граничні оцінки числа додаткових ребер при трансформації базових *GL*-моделей до небазових.

*Ключевые слова:* отказоустойчивые многопроцессорные системы, графы, модели.

Широкое распространение сложных многомодульных систем, устойчивых к отказам некоторых модулей, требует анализа поведения системы в потоке отказов различной кратности (т. е. определения ее реакции на отказ некоторого числа модулей), в частности при оценке ее надежности [1]. Среди множества различных моделей, адекватно отображающих эту реакцию, наибольшее распространение получили *GL*-модели [2], отличающиеся относительной простотой формирования и удобством использования.

При разработке, анализе и трансформации реконфигурируемых отказоустойчивых многомодульных систем (ОМС), в особенности систем управления сложными объектами, *GL*-модель, соответствующая такой системе, иногда получается достаточно сложной. В связи с этим практический интерес представляет расчет параметров модели на первых этапах проектирования ОМС, а также определение сложности трансформации уже созданной

модели при преобразовании самой системы. От сложности модели зависит время выполнения статистических экспериментов с ней и, следовательно, точность расчета надежности ОМС.

Будем определять число основных ребер в базовой *GL*-модели, предложенной в [3]. Эта модель сравнительно проста и теряет два ребра при появлении «лишнего» отказа. Затем определим граничные оценки числа дополнительных ребер при реконфигурации базовой *GL*-модели к небазовой.

**Число основных ребер.** В *GL*-модели [2] поведения ОМС в потоке отказов работоспособности системы поставлена в соответствие связность неориентированного циклического графа, наличие (или отсутствие) ребер которого определяется значениями булевых функций, присвоенных ребрам графа. Аргументы функций отображают состояние модулей (отказ — «0», исправен — «1») системы ОМС, состоящую из  $n$  элементов (модулей) и сохраняющую работоспособность в случае отказа не более, чем  $m$  любых ее модулей ( $0 \leq m \leq n$ ), обозначим  $K(m, n)$  и назовем базовой. Ей соответствует базовая *GL*-модель, которую для простоты восприятия в дальнейшем будем также обозначать  $K(m, n)$ . Реберные функции формируются таким образом, что для базовой модели  $K(m, n)$  появление векторов с числом нулей (отказов в системе), не превышающим величины  $m$ , приводит к исчезновению не более, чем одного ребра. В других случаях в графе исчезают два и более ребер, и он теряет связность. Модель, предложенная в [3], теряет минимальное число ребер при появлении векторов с числом нулевых компонент, превышающим  $m$ , а при появлении вектора с  $m + 1$  нулевой компонентой из модели исключаются ровно два ребра.

Рассмотрим задачу определения числа  $r$  ребер *GL*-модели, построенной по этому методу. Алгоритм формирования реберных функций модели ОМС основан на операции склеивания. Приведем несколько основных его положений, необходимых для решения поставленной задачи.

Обозначим через  $K'(m, n)$  множество реберных функций *GL*-модели  $K(m, n)$ . Каждый элемент из  $K'(m, n)$  присвоен только одному ребру модели. Процесс получения элементов  $K'(m, n)$  можно представить в виде рекурсивного соотношения:

$$K'(m_1, n_1) \Rightarrow K'(m_1 - i, [n_1 / 2]) \vee K'(i, ]n_1 / 2[), \quad (1)$$

где  $i = 0 \dots m_1$ ,  $n_1 > m_1$ ,  $m_1 - i \leq [n_1 / 2]$ ,  $i \leq ]n_1 / 2[$ ;  $[x]$  — целая часть от  $x$ ;  $]x$  [ — округление до ближайшего большего целого. На первом шаге алгоритма вместо переменных  $m_1$  и  $n_1$  подставляем реальные значения  $m$  и  $n$ , на последующих, если это возможно, — соответствующие значения предыдущего шага из правой части соотношения (1).

В [3] доказано, что дизъюнктивное выражение вида

$$K'(m_1 - p, [n_1 / 2]) \vee K'(p, ]n_1 / 2[), \quad (2)$$

где  $0 < p < m_1$ ;  $n_1 > m_1$ ;  $m_1 - p \leq [n_1 / 2]$ ;  $p \leq ]n_1 / 2[$ , поддается специальным преобразованиям и в конечном итоге может быть записано в виде одной булевой реберной функции, т.е. соответствующее множество  $K'$  будет состоять из одного элемента. Заметим, что в выражениях (1) и (2) операцию дизъюнкции следует относить не к самим множествам, а к парам элементов (функций) разных множеств вида  $K'$ .

Множество  $K'(m_1, n_1)$ , где  $m_1 = n_1$ , не требует представления в виде (2) и дальнейшего преобразования: оно состоит только из одной функции. Понятно, что рассматривать движение в глубину на следующем шаге рекурсии по (1) целесообразно только для дизъюнкций вида  $K'(m_1, [n_1 / 2]) \cup K'(0, ]n_1 / 2[)$  или  $K'(0, [n_1 / 2]) \cup K'(m_1, ]n_1 / 2[)$ , т.е. при граничных значениях переменной  $i$ , ибо только в этом случае необходим дальнейший рекурсивный спуск для определения  $K'(m, n)$ . Следует заметить, что множество  $K'(m_1, n_1)$  пусто при  $m_1 = 0$ , и при последующих выкладках упоминание о нем будем опускать.

После выполнения всех преобразований вида (1) и (2) будут получены все множества типа  $K'$ , для которых не нужны или невозможны дальнейшие преобразования. Для получения искомого  $K'(m, n)$  выполняем объединение элементов этих множеств.

Теперь возвратимся к решению поставленной задачи. Докажем следующее утверждение.

**Утверждение.**

$$r = n - m + 1.$$

Для упрощения доказательства процесс получения элементов  $K'(m, n)$  по (1) представим в виде дерева. Для удобства поместим в узлы дерева множества  $K'(m_1, n_1)$ , для которых применима операция (1) и которые не входят в состав дизъюнкций типа (2), где  $n_1 > m_1$ . Вершины дерева соответствуют элементам множества  $K'(m, n)$ , т.е. ребрам исходной GL-модели с их функциями, следовательно, число вершин дерева в точности равно числу ребер модели. Дизъюнкции (2) припишем вершинам (вершина не имеет исходящих дуг). Поместим в вершины дерева также множества  $K'(m_1, n_1)$ , где  $m_1 = n_1$ , не входящие в состав дизъюнкций (2). Пример такого дерева приведен на рис. 1.

В данном примере  $K'(3, 9)$ ,  $K'(3, 5)$ ,  $K'(3, 4)$  помещены в узлах, все дизъюнктивные выражения типа (2) присвоены вершинам и  $K'(3, 3)$  также отображается как вершина. Напомним, что каждая вершина содержит множество  $K'$ , мощность которого равна единице. Дерево позволяет упростить процедуру определения числа  $r$ .

Следуя операции (1) в глубину, последовательно на каждом этапе делим величину  $n$  на два, получая значения переменных  $n_1$  на соответ-

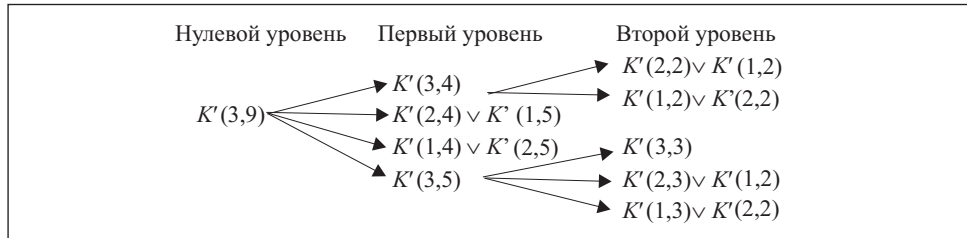


Рис. 1. Дерево для  $K'(3,9)$

вующем этапе. Таким образом,  $n_{1i} = [n/2^i]$  либо  $n_{1i} = ]n/2^i[$ , где  $i$  — номер этапа (уровня). Пусть  $(k+1) = \max(i)$ , т. е. на уровне  $(k+1)$  узлы отсутствуют. Поскольку  $k$ -й уровень это максимальный уровень, имеющий узлы, можно записать  $m \leq n/2^k \leq 2m$ . Разделив это неравенство на  $m$  и умножив на  $2^k$ , получим  $2^k \leq n/m \leq 2^{k+1}$ , или  $2^k \leq 2^{\log_2(n/m)} \leq 2^{k+1}$ , откуда  $k = [\log_2(n/m)]$ . Исходя из (1), можно заметить, что из каждого узла, находящегося на уровне глубиной  $i < k$ , выходит  $m+1$  ветвь, и каждый такой узел имеет ровно  $m-1$  инцидентную вершину. На каждом таком уровне будет  $2^i$  узлов. Легко определить общее число вершин  $r^*$  на уровнях глубиной меньшей  $k$ :

$$r^* = \sum_{i=1}^{k-1} 2^i (m-1).$$

Понятно, что на одном и том же уровне в различных узлах (обозначенных  $K'(m_1, n_1)$ ), значения величин  $n_1$  отличаются не более чем на единицу. Обозначим через  $n_m$  меньшее из значений  $n_1$  на  $k$ -м уровне, а через  $n_x$  — большее. Очевидно, что  $n_m = [n/2^k]$ , а  $n_x = ]n/2^k[$ . Пусть  $\alpha = \{n/2^k\} = n - [n/2^k]2^k = n - n_m 2^k$ , где  $\{x/y\}$  — остаток от целочисленного деления. Ясно, что  $\alpha$  равно числу узлов  $K'(m_1, n_1)$ , в которых  $n_1 = n_x$ , а  $(2^k - \alpha)$  — числу узлов  $K'(m_1, n_1)$ , в которых  $n_1 = n_m$ . Поскольку узел  $k$ -го уровня может быть инцидентен только вершинам  $(k+1)$ -го уровня, анализируя (1), можно заметить, что число таких вершин определяется как  $(n_x - m_1 + 1)$ . Следовательно, общее число вершин, инцидентных всем узлам  $K'(m_1, n_x)$ , равно  $\alpha(n_x - m_1 + 1)$ . Аналогично общее число вершин, инцидентных всем узлам  $K'(m_1, n_m)$ , равно  $(2^k - \alpha)(n_m - m + 1)$ . Следовательно, общее число вершин во всем дереве:

$$\begin{aligned} r &= \sum_{i=1}^k 2^{i-1}(m-1) + \alpha(n_x - m + 1) + (2^k - \alpha)(n_m - m + 1) = \\ &= (2^k - 1)(m-1) + \alpha(n_x - m + 1) + (2^k - \alpha)(n_m - m + 1) = \end{aligned}$$

$$\begin{aligned}
 &= 2^k m - 2^k - m + 1 + \alpha n_x - \alpha m + \alpha + 2^k n_m - 2^k m + 2^k - \alpha n_m + \alpha m - \alpha = \\
 &= \alpha n_x + 2^k n_m - \alpha n_m - m + 1.
 \end{aligned} \tag{3}$$

Поскольку  $n_x = \lfloor n/2^k \rfloor$ , а  $n_m = [n/2^k]$ ,  $n_x = n_m$  лишь в случае, когда  $n/2^k$  — целое число, иначе  $n_x = n_m + 1$ . В уравнении (3)  $n_x$  умножается на коэффициент  $\alpha$ , равный нулю, когда  $n/2^k$  — целое. На основании изложенного можно выполнить замену  $n_x = n_m + 1$ :

$$\begin{aligned}
 r &= \alpha n_x - m + 1 + 2^k n_m - \alpha n_m = \alpha n_m + \alpha + 2^k n_m - \alpha n_m - m + 1 = \\
 &= \alpha + 2^k n_m - m + 1.
 \end{aligned}$$

Подставив  $\alpha = n - n_m 2^k$ , получим  $r = n - 2^k n_m - 2^k n_m - m + 1 = n - m + 1$ . Утверждение доказано.

**Оценка числа дополнительных ребер при преобразовании GL-модели.** Базовая ОМС продолжает функционировать при появлении отказов, кратность которых не превышает заданную. Однако реально ОМС может продолжать функционировать и при появлении отказов более высокой кратности, что должно быть адекватно отражено на GL-модели. В подобных случаях необходимо решать задачу преобразования модели базовой ОМС к модели небазовой ОМС. Появление соответствующих векторов состояния системы приведет к исчезновению каких-то основных ребер базовой GL-модели. Будем рассматривать случай исчезновения только пары основных ребер (в соответствии с рассуждениями, изложенными выше) при появлении одного такого вектора, хотя реально исчезнуть может большее число основных ребер (это зависит от алгоритма формирования реберных функций для модели). Понятно, что исчезновение пары ребер ведет к потере связности графа базовой модели. Одним из путей обеспечения адекватности модели (т.е. сохранения связности графа) для указанных случаев является проведение дополнительных ребер со своими функциями [4].

Обозначим  $L$  множество пар ребер, при исключении которых необходимо обеспечить связность графа, а его мощность обозначим  $l$ . Каждая пара соответствует одному из векторов состояния системы. В дальнейшем для краткости сохранение связности графа при исчезновении пар ребер (из множества  $L$ ) будем называть блокировкой множества  $L$ , или просто блокировкой.

В соответствии с алгоритмом, описанным в [4], ребра графа исходной GL-модели разбиваем на два или более непустых, непересекающихся  $S$ -подмножества: в одном  $S$ -подмножестве присутствуют только такие ребра, выборка по два которых не совпадает ни с одним элементом из

множества  $L$ . Одним из важных критериев разбиения графа на  $S$ -подмножества является их минимальное число. Затем проводим дополнительные ребра в соответствии с разбиением графа на  $S$ -подмножества. Фактически разбиение множества ребер графа на  $S$ -подмножества определяет число и проведение дополнительных ребер, которые обеспечивают сохранение связности графа при исчезновении определенных пар ребер. Поскольку проведение дополнительных ребер фактически определяется разбиением графа на  $S$ -подмножества, будем считать, что  $S$ -подмножества блокируют пары ребер из множества  $L$ . Пусть  $p$  — число  $S$ -подмножеств, а их мощности обозначим соответственно  $s_1, s_2, \dots, s_p$ . Согласно методу, предложенному в [4], число дополнительных ребер  $n = \lceil p/2 \rceil$ .

На этапе проектирования модели и внесения в нее изменений разработчику необходимо знать граничные значения числа вводимых для обеспечения адекватности модели дополнительных ребер. Интерес также представляет предельное число векторов, блокируемых с помощью заданного числа дополнительных ребер. Сформулируем следующую задачу:

определить границы  $p$  (число  $S$ -подмножеств), исходя из заданных значений  $r$  и  $l$ ;

определить границы для  $l$  при заданных  $p$  и  $r$ .

Понятно, что значение  $l$  может колебаться в пределах от единицы (не пустое множество  $L$ ) до  $C_r^2$  (как перебор всевозможных пар ребер), а значение  $p$  — в пределах от единицы (при пустом множестве  $L$ ) до  $r$ , когда каждое ребро задает одно  $S$ -подмножество (в этом случае  $l = C_r^2$ ).

**Основные определения.** Пусть существуют все возможные комбинации по  $l$  пар ребер  $1 \leq l \leq C_r^2$  исходной  $GL$ -модели:  $k_1, k_2, \dots, k_{C_r^2}$ . Каждая комбинация  $k_i$  потребует для решения задачи блокировки своего оптимального разбиения множества ребер  $GL$ -модели на  $p_i$   $S$ -подмножеств.

**Определение 1.** Величина  $p_{\max}(l)$  есть максимальное значение из  $p_i$ ,  $p_{\min}(l)$  — минимальное из  $p_i$ , т. е. верхняя граница  $p_{\max}(l)$  — это такое число  $S$ -подмножеств, которое способно блокировать любой набор элементов множества  $L$  мощностью  $l$ , выполняя условие минимальности числа  $S$ -подмножеств. Пусть  $p_{\min}(l)$  — минимальное число  $S$ -подмножеств, обеспечивающее возможность блокировки хотя бы одного набора из  $l$  пар ребер, причем добавление хотя бы одного элемента в множество  $L$  однозначно потребовало бы разбиения на большее, чем  $p_{\min}(l)$ , число  $S$ -подмножеств.

Существуют все возможные разбиения  $\alpha_1, \alpha_2, \dots, \alpha_t$  ребер исходной  $GL$ -модели на  $p$   $S$ -подмножеств. Каждое разбиение  $\alpha_i$  является оптимальным для осуществления блокирования различных множеств пар ребер, среди которых имеется наибольшее по мощности, включающее  $l'_i$  пар, и наименьшее, включающее  $l''_i$  пар.

**Определение 2.** Максимальное из  $l'_i$  обозначим  $l_{\max}(p)$ , а минимальное из  $l''_i = l_{\min}(p)$ , т. е.  $l_{\max}(p)$  — это максимальное число пар ребер, для блокировки которых достаточно разбиения графа на  $p$   $S$ -подмножеств;  $l_{\min}(p)$  — такое минимальное значение мощности множества  $L$ , для блокировки которого требуется разбиение ребер графа на  $p$   $S$ -подмножеств. Это такая комбинация из  $l$  пар, что удаление хотя бы одного элемента из множества  $L$  потребовало бы менее чем  $p$   $S$ -подмножеств (с учетом требования минимальности к их числу).

**Взаимная обратимость граничных функций.** Покажем, что при осуществлении оптимального разбиения множества ребер  $GL$ -модели на  $S$ -подмножества [4] граничные функции  $p_{\min}(l)$  и  $l_{\max}(p)$  являются взаимно обратными.

Пусть  $l^* = l_{\max}(p^*)$ , т.е. среди всех оптимальных разбиений ребер графа на  $p^*$   $S$ -подмножеств существует такое, которое блокирует множество пар ребер, имеющее наибольшую мощность, равную  $l^*$ . Понятно, что если задано какое-то множество пар ребер  $L$ , включающее  $l^*$  пар, то для его блокирования понадобится не менее чем  $p^*$   $S$ -подмножеств. В то же время существует такое множество  $p_{\min}(l^*)$  мощностью  $l^*$  пар, для которого разбиение на  $p^*$   $S$ -подмножеств оказывается достаточным. Следовательно, в точках пространства  $(p^*, l^*)$  значения функций  $p_{\min}(l^*)$  и  $l_{\max}(p^*)$  совпадают. Подобные рассуждения справедливы для любых значений  $l$  и  $p$ , а значит, эти функции являются взаимно обратными. Проведя аналогичные рассуждения относительно другой пары граничных функций, приходим к выводу, что функции  $l_{\min}(p)$  и  $p_{\max}(l)$  также взаимно обратны.

На основании изложенного можно сделать вывод о том, что для поиска граничных функций достаточно найти только две из них, определяя другие как взаимно обратные.

**Нижняя граница  $l$ .** Введем понятие  $V$ -графа [4]. Это неограф, в котором вершинам соответствуют ребра исходного графа  $GL$ -модели, а ребра проводятся в соответствии с парами множества  $L$ . Следует заметить, что правильная раскраска вершин  $V$ -графа, как показано в [4], определяет разбиение исходного графа на  $S$ -подмножества, причем ребра, имеющие один цвет, входят в одно  $S$ -подмножество. На рис. 2 приведен пример  $V$ -графа, его раскраски и соответствующего разбиения множества ребер исходного графа модели на  $S$ -подмножества для  $r = 8$ .

Допустим,  $p$  — хроматическое число  $V$ -графа, который будем строить, исходя из  $GL$ -модели ОМС. Поскольку  $l$  равно числу ребер  $V$ -графа, для решения поставленной задачи достаточно определить минимальное число ребер, формирующих  $V$ -граф, требующий  $p$  красок для правильной раскраски своих вершин. Известно, что хроматическое число не меньше

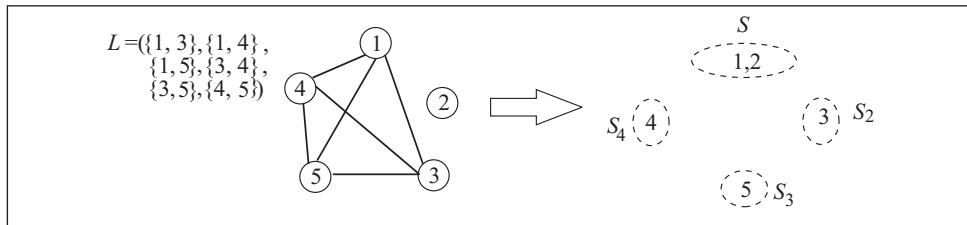


Рис. 2. Построение  $V$ -графа и соответствующих  $S$ -подмножеств

числа вершин в клике графа, т. е. в максимально полном подграфе. Следовательно, достаточно выбрать такое число ребер, которое в оптимальном случае задавало бы полный подграф, состоящий из  $p$  вершин. Таким образом, задача сведена к определению числа ребер полного графа, имеющего  $p$  вершин, а значит, искомая граница имеет вид

$$l_{\min}(p) = \frac{p(p-1)}{2}.$$

Поскольку  $l_{\min}(p)$  и  $p_{\max}(l)$  — взаимно обратные функции, представив  $l$  как аргумент функции  $p$ , решив квадратное уравнение, легко определяем, верхнюю границу числа  $S$ -подмножеств:

$$p_{\max}(l) = \frac{1 + \sqrt{1 + 8l}}{2}. \quad (4)$$

**Верхняя граница  $l$ .** Для поиска границы  $l_{\max}(p)$  вновь обратимся к  $V$ -графу, ребра которого соответствуют элементам множества  $L$ . Определим, какова должна быть структура  $V$ -графа с максимальным числом ребер, чтобы он при этом оставался  $p$ -раскрашиваемым. Разобьем вершины искомого  $V$ -графа (они соответствуют ребрам  $GL$ -модели) на  $p$  групп и проведем все возможные ребра между вершинами из различных групп. Понятно, что такой граф является  $p$ -раскрашиваемым, поскольку вершины, входящие в одну группу, определяют внутренне устойчивое множество. Однако при этом, в зависимости от способа разбиения, возможное число ребер, сохраняя свойство  $p$ -раскрашиваемости, будет различным. Для решения задачи достаточно выбрать мощности групп такими, чтобы число ребер  $V$ -графа было максимальным. Поскольку все вершины, входящие в одну группу, имеют один цвет, соответствующие им ребра в  $GL$ -модели, будут принадлежать одному  $S$ -подмножеству. Исходя из этого, множество  $L$  следует формировать как множество пар  $\{R_{S_i}^w, R_{S_j}^q\}$ , где  $w = 1 .. s_i$ ,  $q = 1 .. s_j$ ,  $i = 1 .. p - 1$ ,  $j = (i + 1) .. p$ ;  $R_{S_i}^w$  — ребро из  $S_i$ -подмножества.

жества. Найдем такие значения  $s_1, s_2, \dots, s_p$ , при которых мощность множества  $L$  будет максимальной.

Очевидно, что  $1 \leq s_i \leq r - p + 1$ , где  $i = 1 \dots p$ . Пусть имеются  $S_1, S_2, \dots, S_p$ -подмножества и соответствующие мощности  $s_1, s_2, \dots, s_p$ . Исходя из сказанного выше, можно записать следующее:

$$\begin{aligned} l_{\max}(s_1, s_2, \dots, s_p) &= C_{S_1}^1 (C_{S_2}^1 + C_{S_3}^1 + \dots + C_{S_p}^1) + C_{S_2}^1 (C_{S_3}^1 + \dots + C_{S_p}^1) + \dots \\ &\dots + C_{S_{(p-1)}}^1 C_{S_p}^1 = s_1(s_2 + s_3 + \dots + s_p) + \dots + s_{p-1}s_p = \sum_{\substack{i, j=1 \\ j > i}}^p s_i s_j. \end{aligned} \quad (5)$$

Заметим, что

$$s_1 + s_2 + \dots + s_p = \sum_{i=1}^p s_i = r.$$

Определим значения аргументов  $s_i$ , при которых функция  $l_{\max}(s_1, s_2, \dots, s_p)$  примет максимальное значение. Это произойдет при  $s_1 = s_2 = s_3 = \dots = s_p = r/p$ . Действительно,

$$l_{\max}(s_1, s_2, \dots, s_p) = \sum_{\substack{i, j=1 \\ j > i}}^p s_i s_j = \frac{\left(\sum_{i=1}^p s_i\right)^2 - \sum_{i=1}^p s_i^2}{2}.$$

Отсюда следует, что  $l_{\max}(s_1, s_2, \dots, s_p)$  достигает максимума, когда значение  $\sum_{i=1}^p s_i^2$  минимально. Пусть  $s' = r/p$ , тогда  $s_i$  можно представить как

$s_i = (s' - \sigma_i)$ , где  $\sum_{i=1}^p \sigma_i = 0$ ,  $\sigma_i < s_i$ ,  $i = 1, \dots, p$ . Выполним преобразования:

$$\sum_{i=1}^p s_i^2 = \sum_{i=1}^p (s' - \sigma_i)^2 = \sum_{i=1}^p (s')^2 - \sum_{i=1}^p 2s'\sigma_i + \sum_{i=1}^p \sigma_i^2 = p(s')^2 + \sum_{i=1}^p \sigma_i^2.$$

Поскольку  $\sigma_i^2 \geq 0$ , сумма  $\sum_{i=1}^p s_i^2$  примет минимальное значение при  $\sigma_i^2 = 0$ , т. е.

когда  $s_i = s' = r/p$ , что и требовалось доказать. Подставив в (4) значение  $s_i = r/p$ ,  $i = 1, 2, \dots, p$ , получим

$$l_{\max}(r, p) = \frac{r^2}{2} \frac{(p-1)}{p}.$$

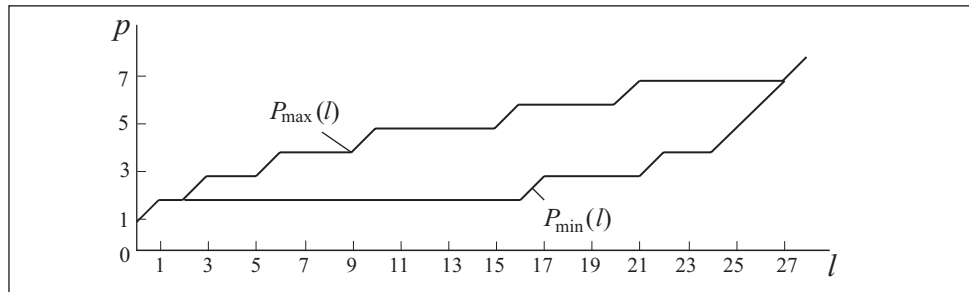


Рис. 3. Границы  $P_{\min}(l)$  и  $P_{\max}(l)$  для случая  $r=8$

Следует заметить, что значения этой функции являются действительными числами, но на самом деле функция  $l_{\max}$  должна принимать натуральные значения. Поскольку  $s_1, s_2, \dots, s_p$  также могут принимать только натуральные значения,  $s_i = \left[ \frac{r}{p} \right]$  либо  $s_i = \left[ \frac{r}{p} \right] + 1$ . Пусть  $s_1 = \left[ \frac{r}{p} \right]$ , а остальные  $s_2, \dots, s_p$  равны либо  $\left[ \frac{r}{p} \right] + 1$ , либо  $\left[ \frac{r}{p} \right]$ , что определяется остатком  $\left\{ \frac{r}{p} \right\}$ , который обозначим  $\alpha$ . Учитывая, что  $\sum_{i=1}^p s_i = r$ , а также тот факт, что взаимное расположение  $S$ -подмножеств одно относительно другого не имеет значения, можно считать, что

$$s_1, s_2, \dots, s_{p-\alpha} = \left[ \frac{r}{p} \right], \quad s_{p-\alpha+1}, \dots, s_p = \left[ \frac{r}{p} \right] + 1.$$

Подставив новые значения аргументов в формулу (5) и упростив ее, получим

$$\begin{aligned} l'_{\max}(r, p) &= C_{p-\alpha}^2 \left[ \frac{r}{p} \right]^2 + C_{\alpha}^2 \left( \left[ \frac{r}{p} \right] + 1 \right)^2 + C_{\alpha}^1 C_{p-\alpha}^1 \left[ \frac{r}{p} \right] \left( \left[ \frac{r}{p} \right] + 1 \right) = \\ &= \frac{p(p-1)}{2} \left[ \frac{r}{p} \right]^2 + \frac{\alpha - 1 + 2 \left[ \frac{r}{p} \right] (p-1)}{2} \alpha. \end{aligned}$$

С помощью этой формулы находим точные значения. В результате достаточно большого числа экспериментов установлено, что среднее значение абсолютной погрешности зависит от значения  $r$ :

$$|l'_{\max}(r, p) - l_{\max}(r, p)| \approx 0,0386r.$$

Далее в расчетах будем использовать функцию  $l_{\max}(r, p)$ , так как она не содержит целочисленного деления и, следовательно, более проста в применении. Поскольку  $l_{\max}(p)$  и  $p_{\min}(l)$  — функции взаимно обратные, представив  $l$  как аргумент функции  $p$ , легко определим нижнюю границу числа  $S$ -подмножеств:

$$p_{\min}(l, r) = \frac{r^2}{r^2 - 2l}. \quad (6)$$

Полученные выше результаты можно представить в виде неравенств:

$$\begin{aligned} \frac{r^2}{r^2 - 2l} &\leq p(r, l) \leq \frac{1 + \sqrt{1 + 8l}}{2}; \\ \frac{p(p-1)}{2} &\leq l(p, r) \leq \frac{p(p-1)}{2} \left[ \frac{r}{p} \right]^2 + \frac{\alpha - 1 + 2 \left[ \frac{r}{p} \right] (p-1)}{2} \alpha. \end{aligned}$$

Границы числа  $S$ -подмножеств, вычисленные для конкретного примера по формулам (4) и (6), показаны на рис. 3. Найденные границы не являются натуральными числами, поэтому округлим нижнюю границу в сторону меньшего целого числа, а верхнюю — в сторону большего, чтобы не потерять их возможные значения:

$$\left[ \frac{r^2}{r^2 - 2l} \right] \leq p(r, l) \leq \left[ \frac{1 + \sqrt{1 + 8l}}{2} \right].$$

Следует заметить, что полученная формула (6) для нижней границы числа  $S$ -подмножеств совпадает с результатами, приведенными в работе [5] для нижней границы хроматического числа произвольного графа, что подтверждает правильность данных рассуждений.

**Выводы.** Полученные результаты дают возможность оценить сложность  $GL$ -модели разрабатываемой ОМС на ранних стадиях проектирования. Ее сложность зависит от числа модулей системы, степени отказоустойчивости, а также от множества векторов состояния ОМС, которые отличают модель проектируемой системы от базовой. Полученные оценки могут помочь разработчику заранее определить ресурсы (вычислительные и временные), необходимые для расчета надежности ОМС с требуемой точностью.

The main edge number estimates are given for base  $GL$ -models construction with minimum failed edges number which reflect reaction of failure-resistance multi-module system for failure occurrence. The boundary estimates of additional edges number are given to transform base  $GL$ -models to non-base.

1. Харченко В. С., Жихарев В. Я., Илюшко В. М., Нечипорук Н. В. Многоверсионные системы, технологии, проекты. — Харьков : Национальный аэрокосмический ун-т «Харьковский авиационный ин-т», 2003. — 486 с.
2. Романкевич А. М., Каракун Л. Ф., Романкевич В. А. Графо-логические модели для анализа сложных отказоустойчивых вычислительных систем//Электрон. моделирование. — 2001. — 23, № 1. — С. 102—111.
3. Романкевич В. А., Потапова Е. Р., Бахтари Хедаятоллах, Назаренко В. В. GL-модель поведения отказоустойчивых многопроцессорных систем с минимальным числом теряемых ребер // Вісник НТУУ «КПІ». Інформатика, управління та обчислювальна техніка. — 2006. — № 45. — С. 93—100.
4. Романкевич А. М., Иванов В.В., Романкевич В.А. Анализ ОМС со сложным распределением отказов на основе циклической GL-модели// Электрон. моделирование. — 2004. — 26, № 5. — С. 67—81.
5. Geller D. P. Problem 5713// American Mathematical Monthly. — 1970. —Vol. 77, № 1. — P. 85.

Поступила 19.04.07

*РОМАНКЕВИЧ Алексей Михайлович, д-р техн. наук, профессор каф. специализированных компьютерных систем НТУУ «КПИ». В1961 г. окончил Киевский политехнический ин-т. Область научных исследований — самопроверяемые схемы, псевдослучайное тестирование цифровой аппаратуры, отказоустойчивые многопроцессорные системы.*

*РОМАНКЕВИЧ Виталий Алексеевич, канд. техн. наук, доцент каф. специализированных компьютерных систем НТУУ «КПИ». в 1996 г. окончил Киевский политехнический ин-т. Область научных исследований — модели поведения отказоустойчивых многопроцессорных систем, расчет надежности.*

*МАЙДАНЮК Иван Викторович, аспирант каф. специализированных компьютерных систем НТУУ «КПИ». В 2007 г. окончил Киевский политехнический ин-т. Область научных исследований — отказоустойчивые многопроцессорные системы.*